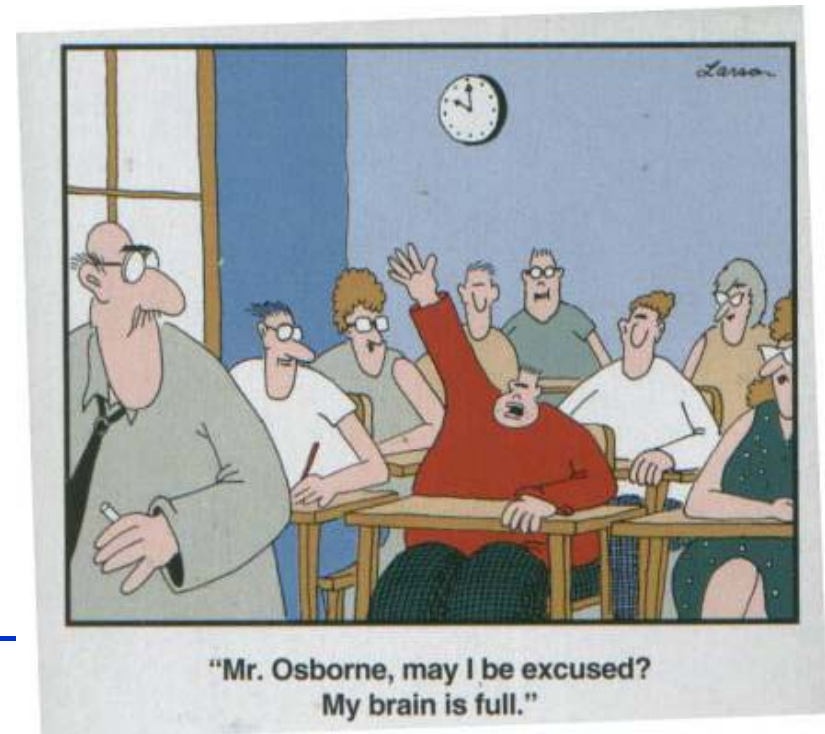


Física Quântica II - Programa Provisório

- Spin – interação com campos magnéticos
- Soma dos momentos angulares
- Teoria de perturbações independente do tempo
- Partículas Idênticos
- Teoria de perturbações dependente do tempo
- Espalhamento em duas e três dimensões



Avaliação:

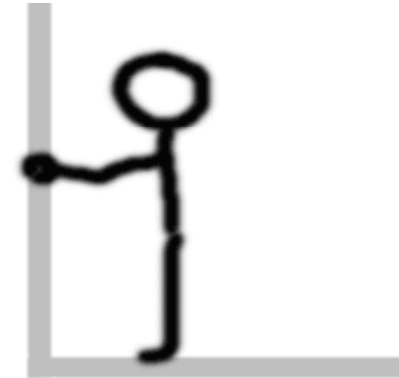
Opção A:

Conjuntos de problemas: 30 %

2 testes: cada um 35%

Opção B:

2 testes: cada um 50%



Morte súbita : nota num teste inferior aos 8 valores

Ressurreição – exame de recuso



Spin - momento angular intrínseco

A World Without Spin...

- 10) Chemistry would have been messed up.
- 9) You can't get rid of the glare from the sunlight.
- 8) You can't have MRI if you've gotten brain cancer.
- 7) Quarks aren't compelled to have color.
- 6) Neutron stars would never be stable.
- 5) Weak interactions can't be chiral.
- 4) There wouldn't be any gauge theories.
- 3) You can't play around with supersymmetry. ☹
- 2) You would be stuck in 26-dimensions.
- 1) Spin doctors Washington DC would be jobless!

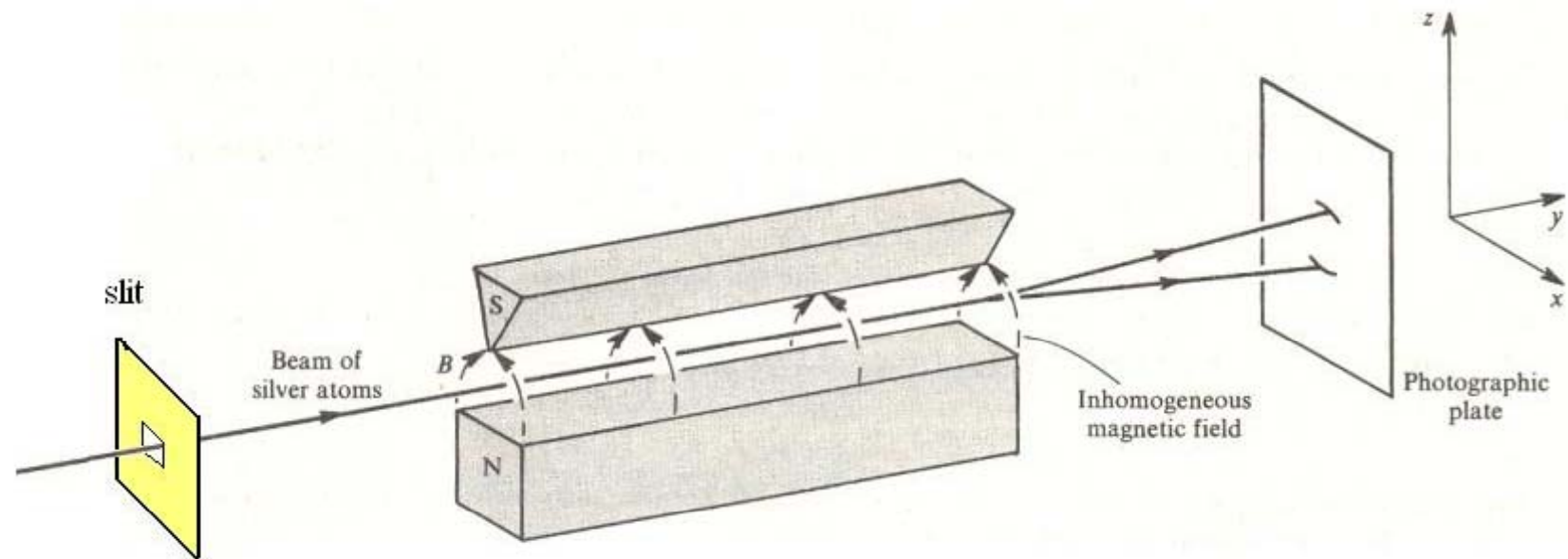
Referências:

Griffiths: sec 4.4

Gasiorowicz: cap 10

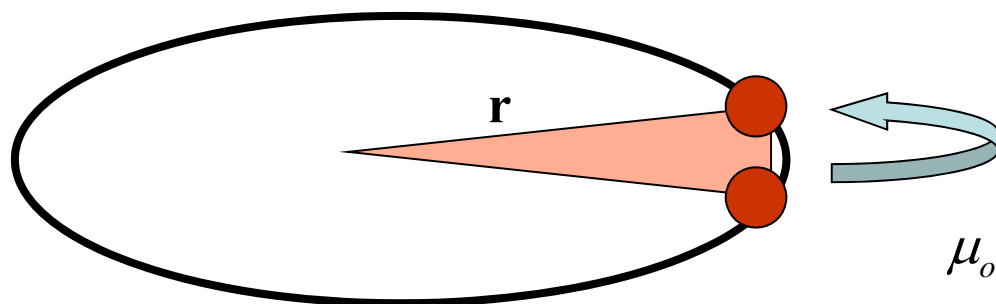
C-T: cap IX, Vol II

Experiência Stern-Gerlach 1922



- Tentativa ver se o elétron é dotado com um momento magnético intrínseco.
 - feixe (quente) de átomos de prata ($_{47}\text{Ag}$).
 - um campo magnético não-homogêneo.
 - Detecção usando uma placa fotográfica.
-

O Momento magnético



Dipolo magnético

$$\begin{aligned}\mu_{orb} &= I(\text{área}) = \oint I \frac{1}{2}(\vec{r} \times d\vec{s}) \\ &= \oint \frac{1}{2} \left(\vec{r} \times \frac{d\vec{s}}{dt} \right) dq = \frac{1}{2m} \oint (\vec{r} \times \vec{p}) dq\end{aligned}$$

mas $\vec{r} \times \vec{p}$ = momento angular orbital

$$\Rightarrow \vec{\mu}_{orb} = \frac{-e}{2m} \vec{L} \quad \frac{e\hbar}{2m} \equiv \mu_B$$

“magnetron de Bohr” $\mu_B = \frac{e\hbar}{2m} \approx 9.27 \times 10^{-24} \text{ J / T}$

l pode assumir valores $0, 1, 2, \dots, n-1$

existe um número ímpar de valores possíveis de m_l

$$\mu_B / h \approx 1.4 \text{ MHz / G}$$

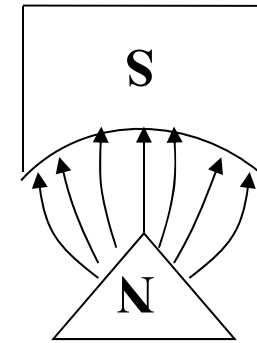
A experiência Stern Gerlach

Força num átomo

$$\mathbf{F} = \nabla(\boldsymbol{\mu} \cdot \mathbf{B}) = -m\mu_B \frac{dB_z}{dz}$$

A força se actua para diminuir a energia potencial magnetica

$$E = E_0 + m\mu_B B_z \quad -l \leq m \leq l$$



Átomos em estados de momento angular interno irão sentir forças diferentes e se separar. Esperamos ver o feixe se separar em partes diferentes uma para cada valor diferente de m .

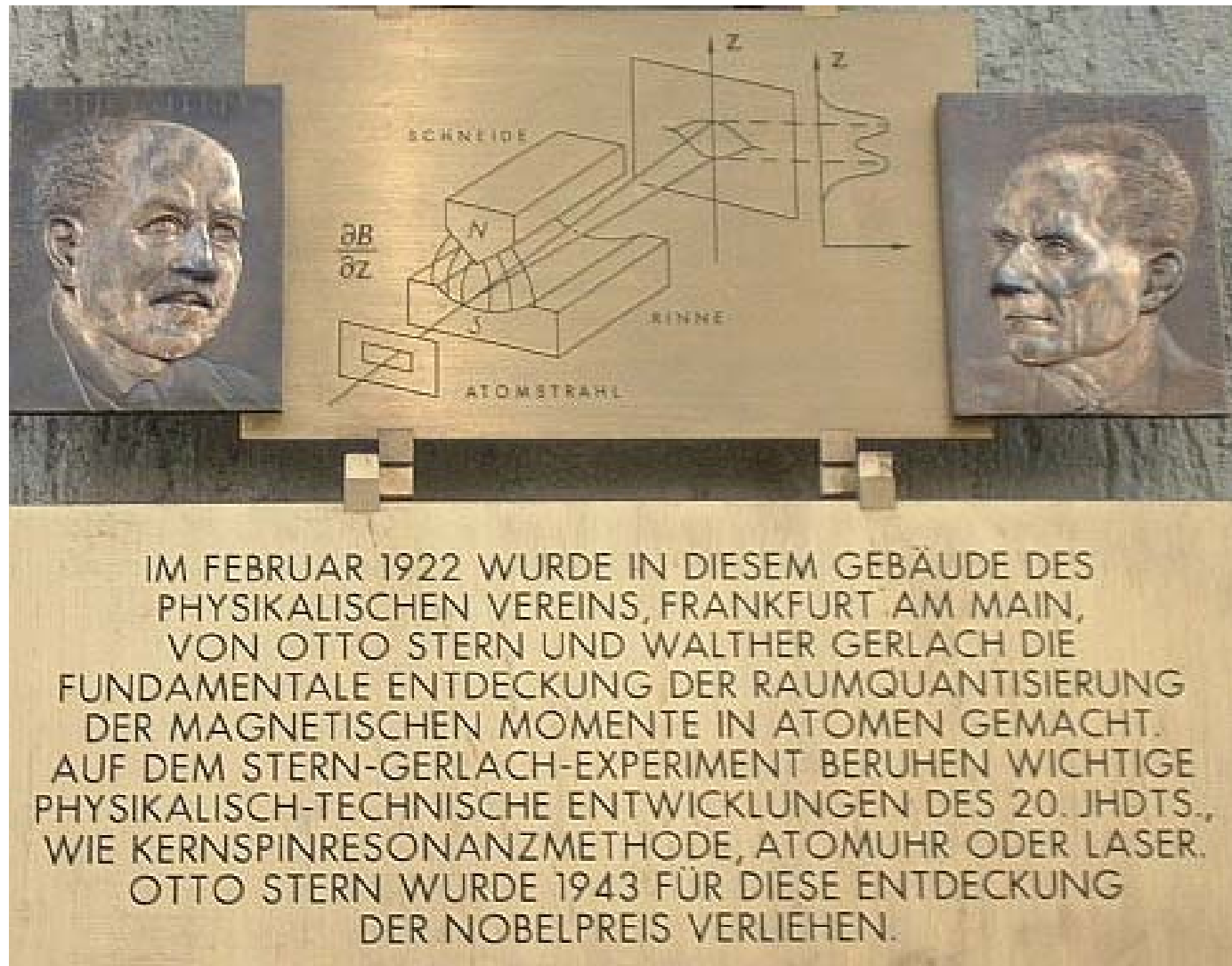
Previsão:

Feixe deveria separar num número impar de partes $(2l+1)$

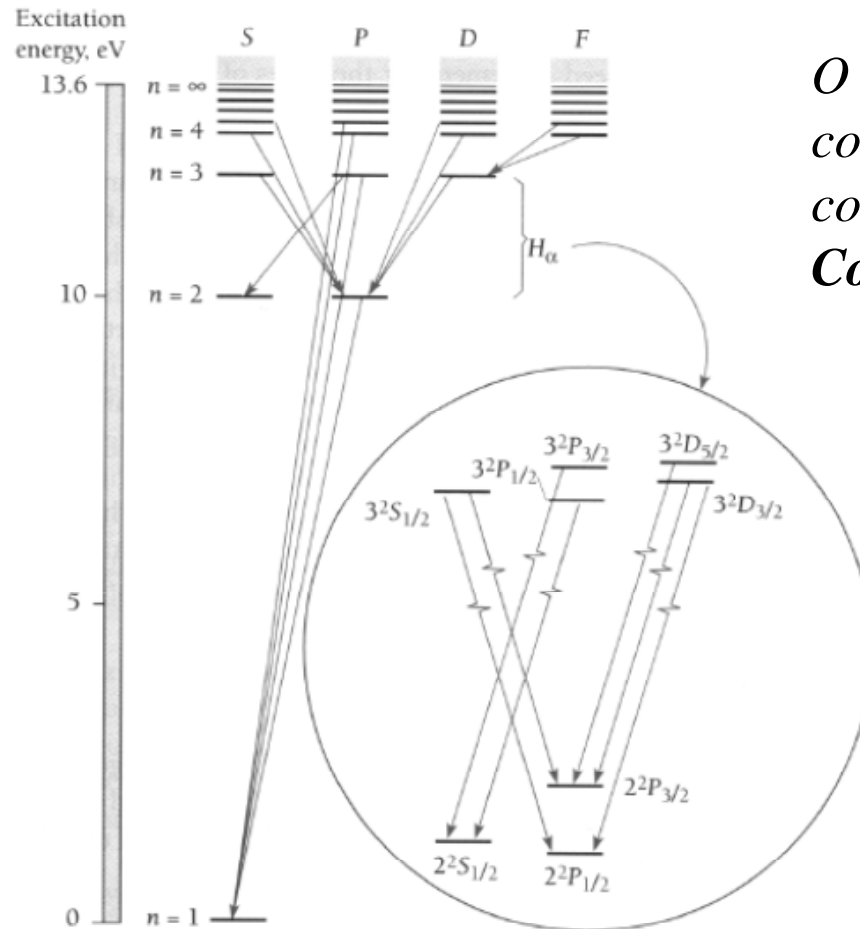
Carta de Gerlach à N. Bohr



Experiência Stern Gerlach (ESG) 1922



Outra complicação



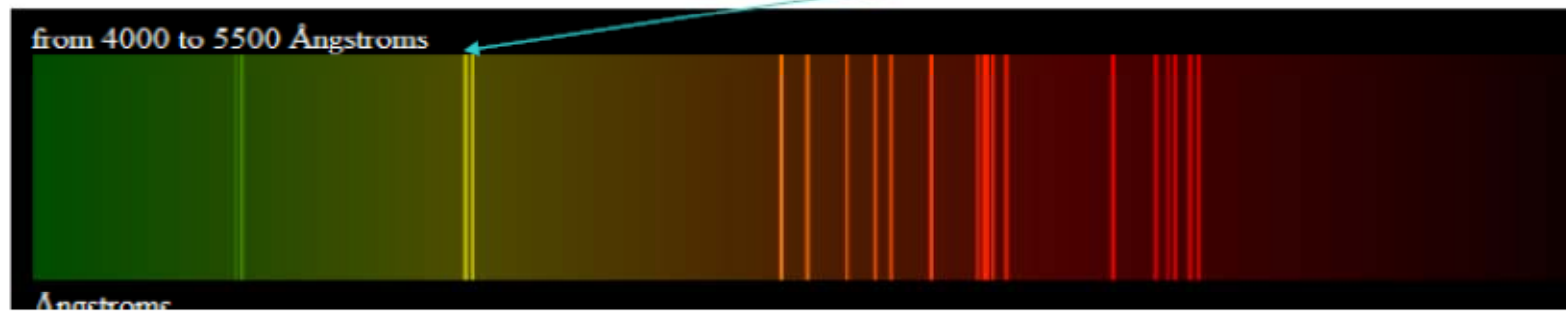
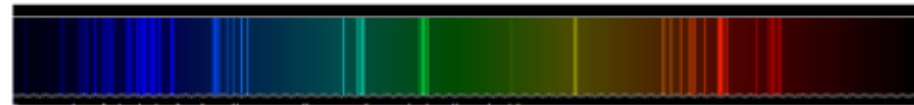
O espectro do átomo mais simples é mais complicado do que esperado considerando apenas a interação Coulombiana entre o elétron e o próton

Existe uma “estrutura fina”
A degenerescência em l é “quebrada”
Aparece um estrutura em “doublets”

Estrutura Fina em Na

$$2l+1 = 1, 3, 5, \dots$$

But!!!



Proposta de Uhlenbeck e Goudsmit

Além de momento angular orbital os elétrons tem um momento angular intrínseco

“O Spin” - S

$$\hat{S}^2 |\chi\rangle = s(s+1)\hbar^2 |\chi\rangle$$

$$\hat{S}_z |\chi\rangle = m_s \hbar |\chi\rangle$$

Os kets (spinors) $|\chi\rangle$

“vivem” num espaço separada do espaço de coordenadas espaciais

Obedecem as relações de comutação associados com momento angular



Dirac – equação Schrödinger relativística para H
Elétrons tem um Spin $S=1/2$ (e uma anti-partícula o positrão)

$$m_s = \pm \frac{1}{2}$$

Momento magnético “intrínseco”

$$\vec{\mu}_s = -g_s \mu_B \hat{S} / \hbar \quad g_s \approx 2$$

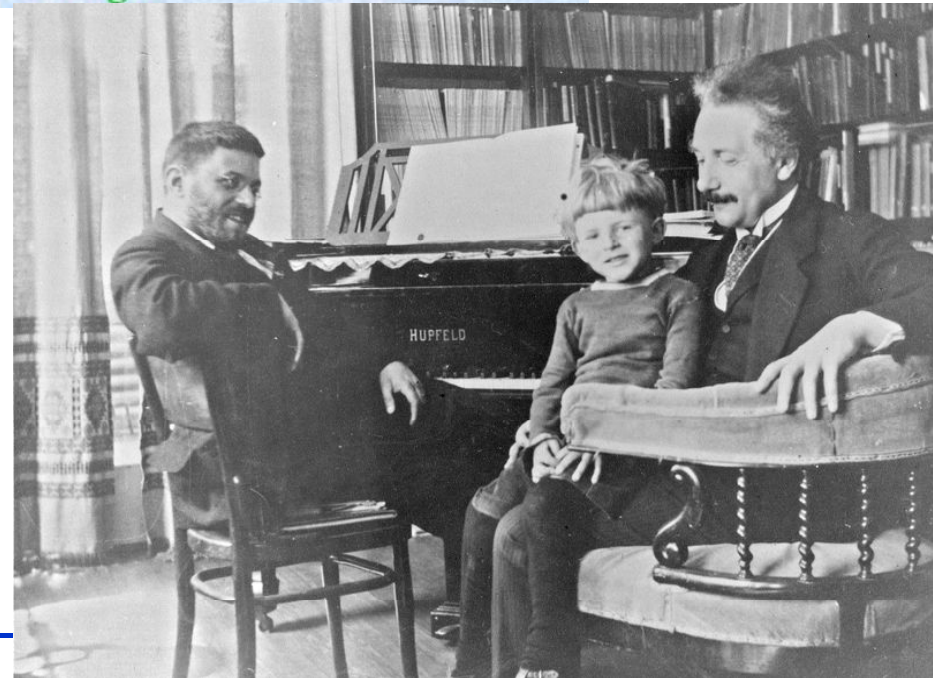
*

Quatro números quânticos $\psi_{n,l,m_l,m_s} = \psi_{n,l,m_l} \chi(m_s)$

* Existem correcções quando o campo EM é quântizado $g_s \approx 2(1 + \alpha / 2\pi + \dots)$

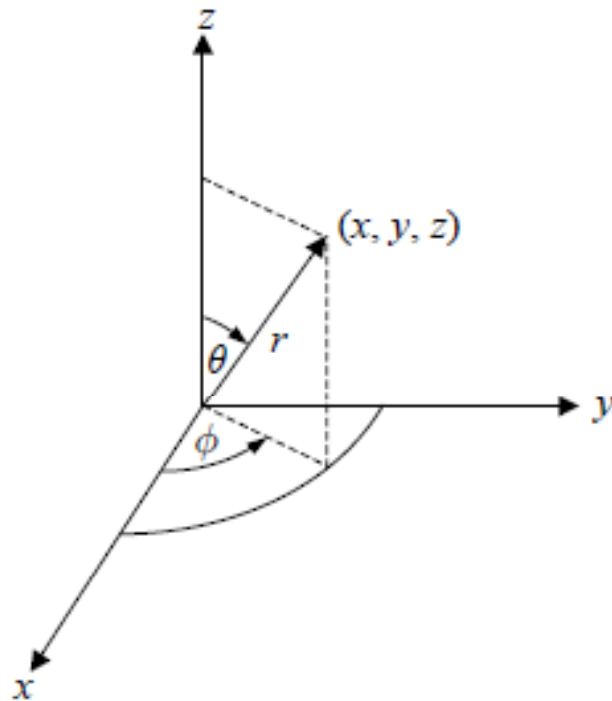
“This is a good idea. Your idea may be wrong, but since both of you are so young without any reputation, you would not loose anything by making a stupid mistake.”

P. Ehrenfest, upon receiving the paper by G. Uhlenbeck and S. Goudsmit, from “The story of spin”, S. Tomonaga



Este valor de $S=1/2$ é bizarro

Lembram que as funções próprias do operador $\hat{L}_z = -i\hbar \frac{\partial}{\partial \phi}$ são $e^{im\phi}$



**m tem ser inteiro
quando roda 2π a volta do eixo dos zz
deve obter a mesma função**

**→ Spin vive num espaço diferente
do que o espaço dos coordenados**

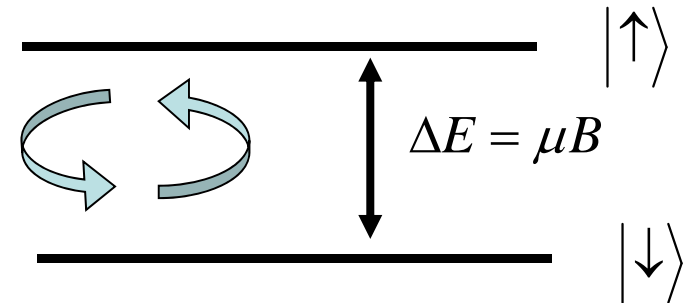
Exemplos de Sistemas com 2 níveis

Um electrão ou um protão isolado é um sistema ideal de 2 níveis:

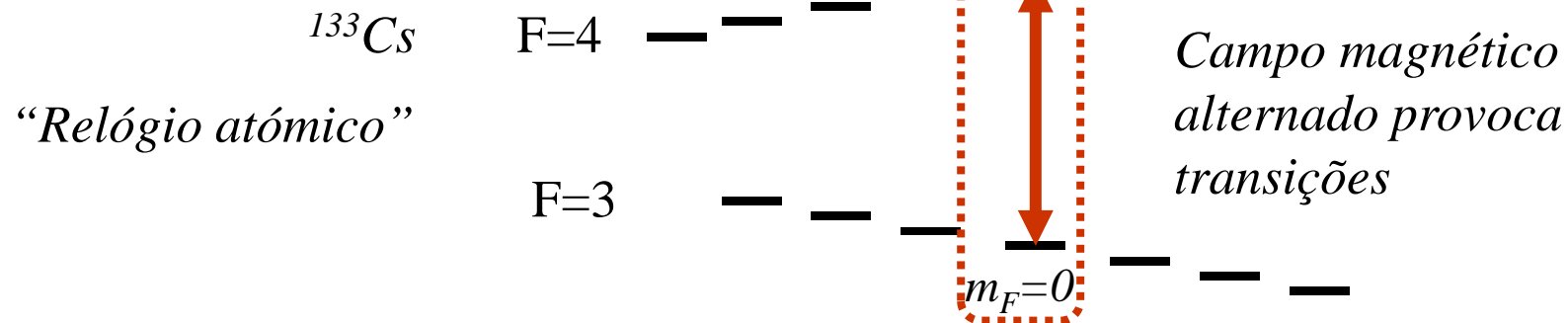


Prémio Nobel 1944

*Campo magnético alternado
pode induzir transições
- Ressonância Magnética
Nuclear (RMN)*



Estados hiperfinos + “truques”



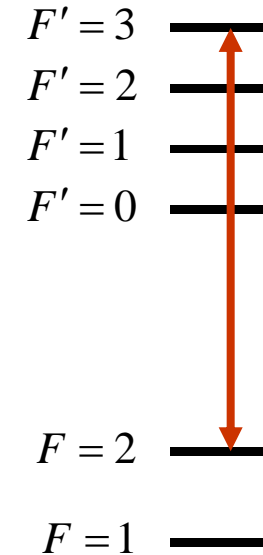
Truques não são perfeitos - Existe alguma possibilidade de haver transições não ressonantes

Outros sistemas de “2 níveis”

Transições ópticas entre um nível no estado fundamental e um nível do um estado excitado

Regras de selecção $\Delta F=0, \pm 1$

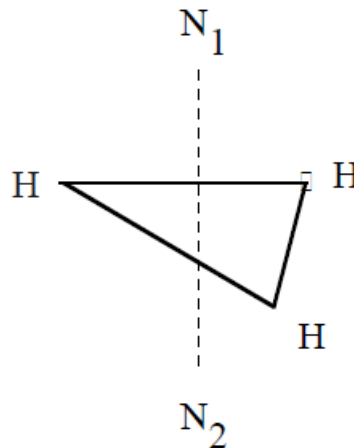
Excitação não ressonante pode “abrir” o sistema



Transições moleculares

*Molécula de amoníaco NH_3
O átomo de azote pode assumir dois estados*

primeiro Maser – C. Townes



Prémio Nobel 1964

Estados de base e operadores

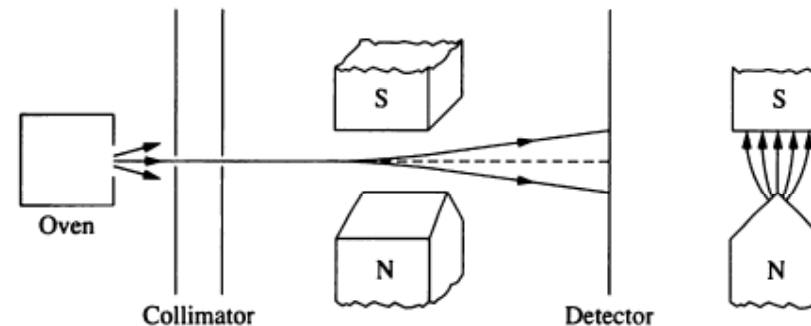
Matrizes de Pauli

$$\hat{S}_x = \frac{\hbar}{2} \begin{bmatrix} 0 & 1 \\ 1 & 0 \end{bmatrix} = \frac{\hbar}{2} \sigma_x \quad \hat{S}_y = \frac{\hbar}{2} \begin{bmatrix} 0 & -i \\ i & 0 \end{bmatrix} = \frac{\hbar}{2} \sigma_y \quad \hat{S}_z = \frac{\hbar}{2} \begin{bmatrix} 1 & 0 \\ 0 & -1 \end{bmatrix} = \frac{\hbar}{2} \sigma_z$$

Quando o eixo de quantização é o eixo dos zz

Estados próprios

$$|\uparrow_z\rangle = \begin{bmatrix} 1 \\ 0 \end{bmatrix} \quad |\downarrow_z\rangle = \begin{bmatrix} 0 \\ 1 \end{bmatrix}$$



Quais são os estado próprios quando medimos o spin ao longo do eixo dos xx?

$$|\uparrow_x\rangle = ? \quad |\downarrow_x\rangle = ?$$

Estados de base e operadores

Estados de base $|\uparrow\rangle$ e $|\downarrow\rangle$ *Estados “para acima” e para abaixo”*
eixo de quantização é tipicamente o eixo dos zz

“Spinor”: $\begin{bmatrix} c_{\uparrow} \\ c_{\downarrow} \end{bmatrix} = c_{\uparrow} |\uparrow\rangle + c_{\downarrow} |\downarrow\rangle$

Matrizes de Pauli $\hat{S}_x = \frac{\hbar}{2} \begin{bmatrix} 0 & 1 \\ 1 & 0 \end{bmatrix} = \frac{\hbar}{2} \sigma_x$

$$\hat{S}_y = \frac{\hbar}{2} \begin{bmatrix} 0 & -i \\ i & 0 \end{bmatrix} = \frac{\hbar}{2} \sigma_y$$

$$\hat{S}_z = \frac{\hbar}{2} \begin{bmatrix} 1 & 0 \\ 0 & -1 \end{bmatrix} = \frac{\hbar}{2} \sigma_z$$

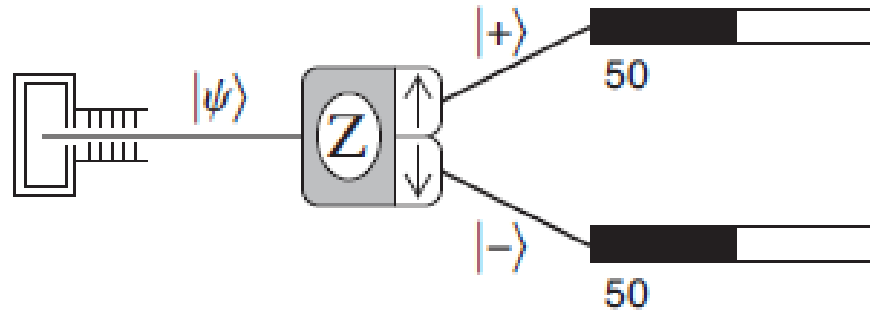
Um spinor arbitrário
pode ser escrito em termos de dois ângulos, θ e ϕ

$$\cos\left(\frac{\theta}{2}\right) |\uparrow\rangle + e^{i\phi} \sin\left(\frac{\theta}{2}\right) |\downarrow\rangle$$



Experiência SG e medidas quânticas

A experiência Stern-Gerlach é uma paradigma duma medida quântica



Spin \leftrightarrow posição no detetor

correlação entre graus de liberdade e observação macroscópica

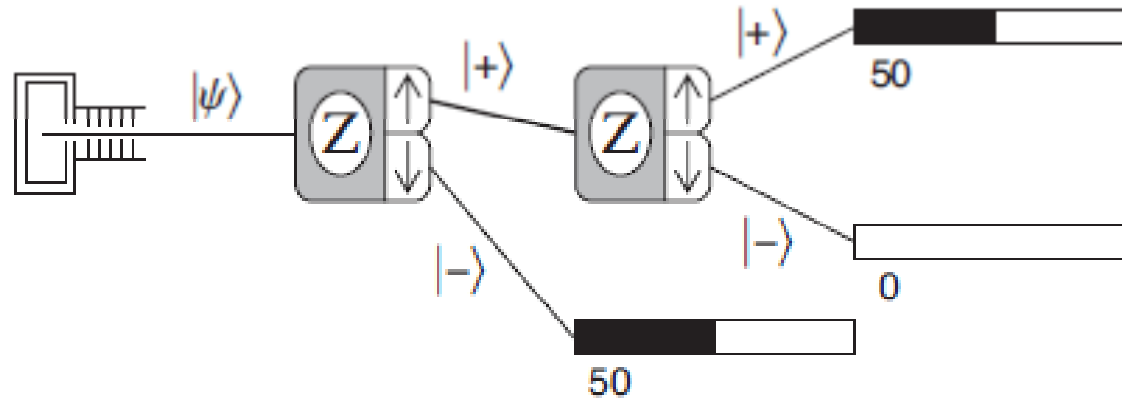
A função de onda incidente é “projetada” num dos estados próprios da operador S_z

$$|\psi\rangle = a|\uparrow_z\rangle + b|\downarrow_z\rangle$$

$$a = \langle\uparrow_z||\psi\rangle \quad b = \langle\downarrow_z||\psi\rangle$$

$$|\psi\rangle = |\uparrow_z\rangle\langle\uparrow_z||\psi\rangle + |\downarrow_z\rangle\langle\downarrow_z||\psi\rangle = \left[|\uparrow_z\rangle\langle\uparrow_z| + |\downarrow_z\rangle\langle\downarrow_z| \right] |\psi\rangle$$

Operadores de projeção



A primeira exp. SG “prepara” o estado num estado próprio de S_z

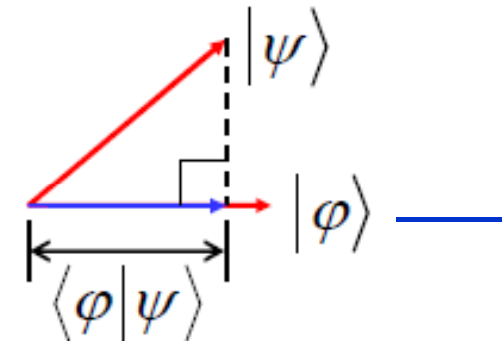
$$\hat{P}_{\uparrow_z} = |\uparrow_z\rangle\langle\uparrow_z|$$

$$(\hat{P}_{\uparrow_z})^2 = \hat{P}_{\uparrow_z}$$

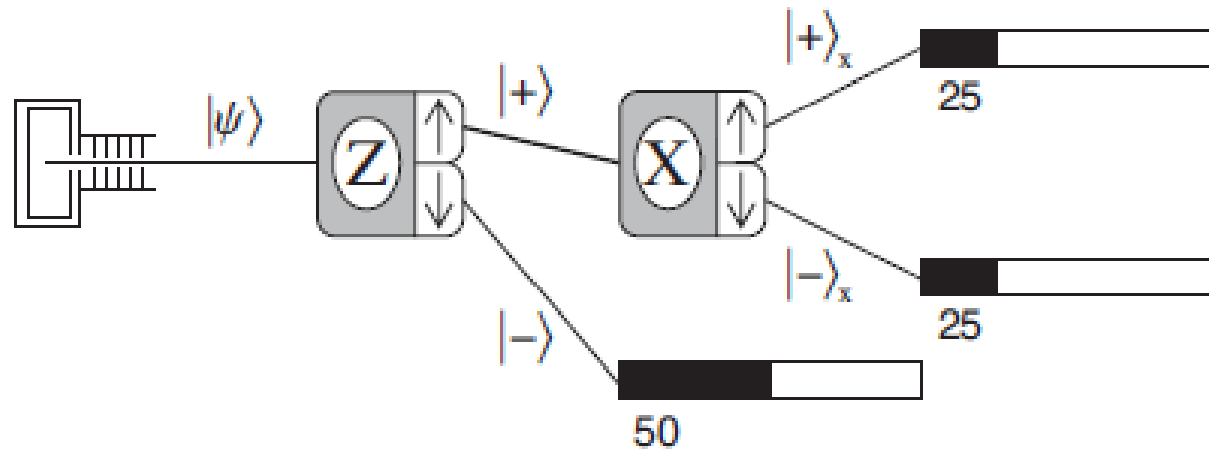
$$|\psi'\rangle = \frac{\hat{P}_{\uparrow_z}|\psi\rangle}{\sqrt{\langle\psi|\hat{P}_{\uparrow_z}|\psi\rangle}}$$

$$P_\phi = |\phi\rangle\langle\phi|$$

$$\Rightarrow P_\phi|\psi\rangle = (|\phi\rangle\langle\phi|)|\psi\rangle = |\phi\rangle\langle\phi|\psi\rangle$$



Operadores que não comutam

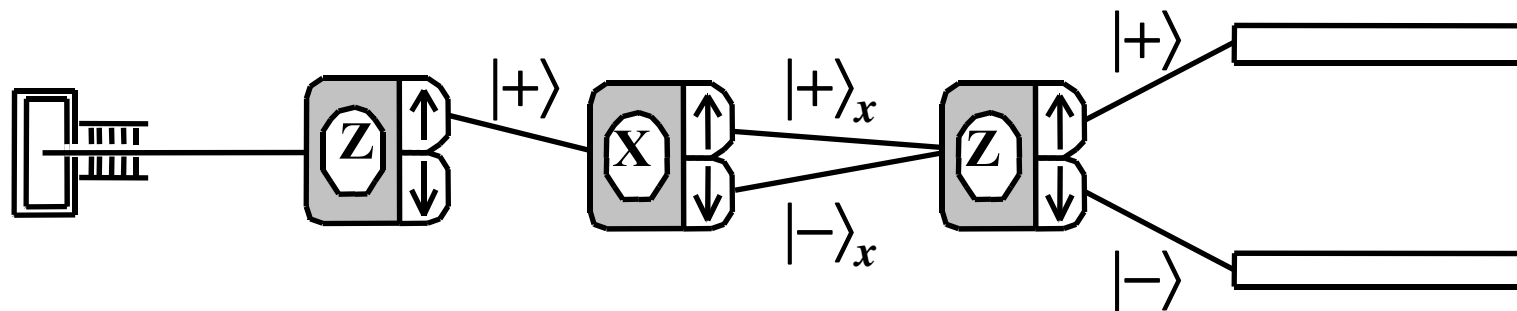
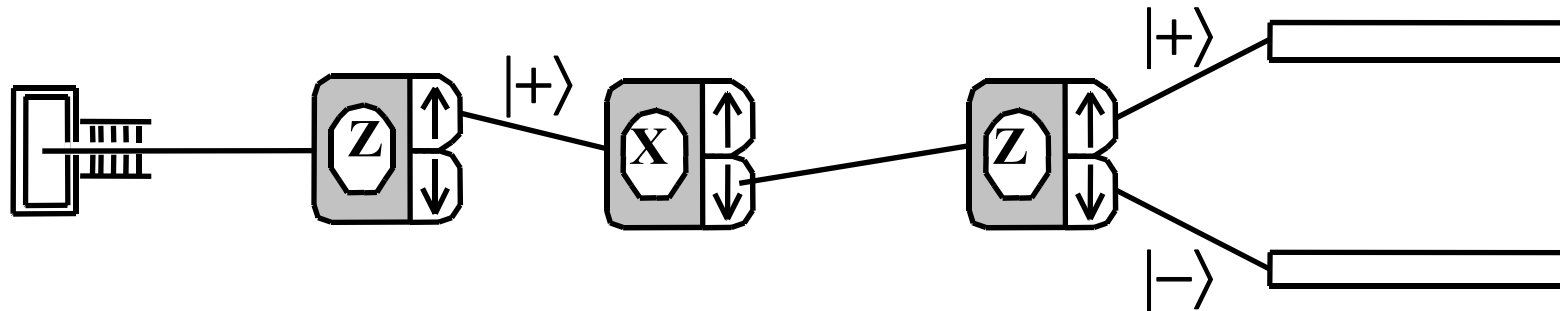


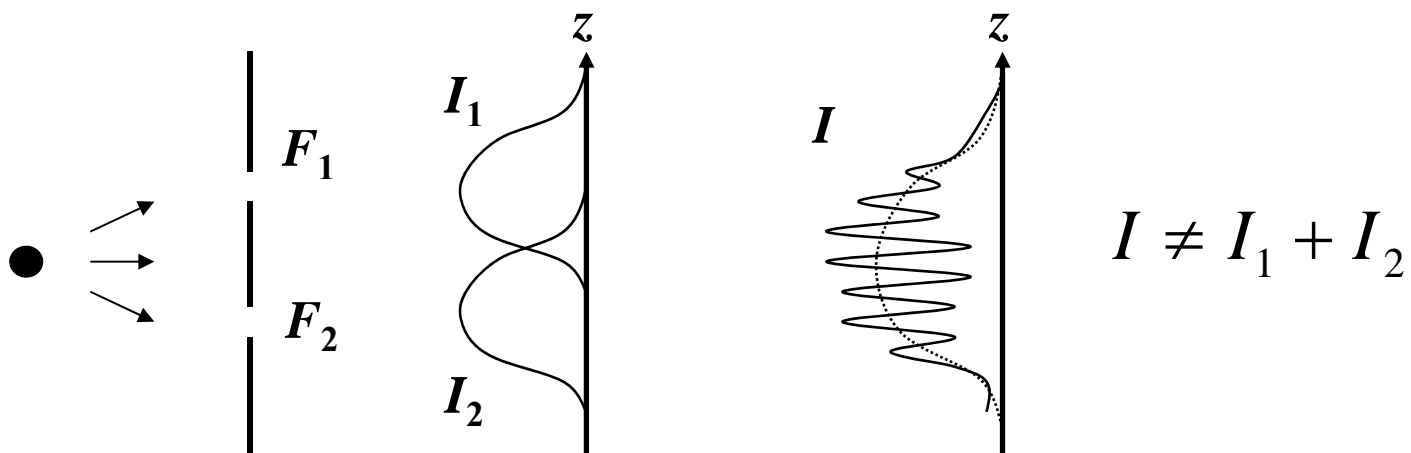
O estado $|\uparrow_z\rangle$ não é um estado próprio do operador \hat{S}_x

$$[\hat{S}_z, \hat{S}_x] = i\hbar\hat{S}_y$$

$$|\uparrow_x\rangle = \frac{\hat{P}_{\uparrow_x} |\uparrow_z\rangle}{\sqrt{\langle \uparrow_z | \hat{P}_{\uparrow_x} | \uparrow_z \rangle}}$$

Desafio - o que acontece nestes casos





Esfera de Bloch

Estado mais geral:

$$|\psi\rangle = \cos\left(\frac{\theta}{2}\right)|\uparrow\rangle + e^{i\phi}\sin\left(\frac{\theta}{2}\right)|\downarrow\rangle$$

*Descreve pontos numa esfera com ângulos θ, ϕ
estados em “oposição” são ortogonais*

Exemplo:

$$\theta = \pi / 2; \phi = 0$$

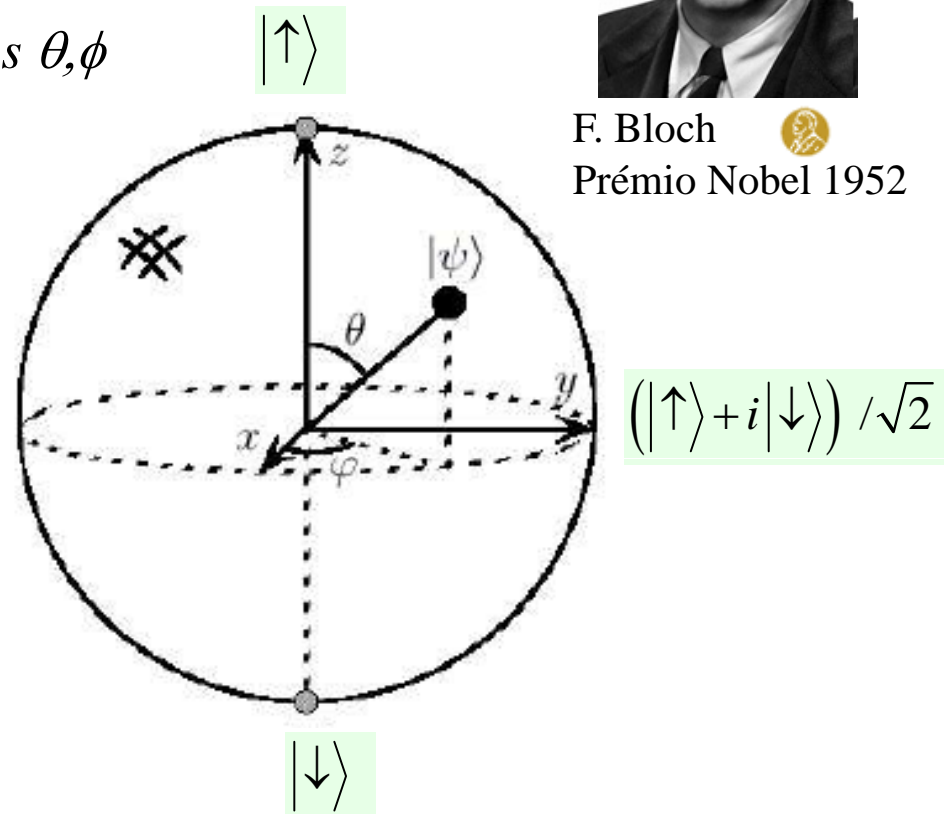
$$|\psi\rangle = (|\uparrow\rangle + |\downarrow\rangle) / \sqrt{2}$$

$$\langle\psi|S_x|\psi\rangle = \hbar / 2;$$

$$\langle\psi|S_y|\psi\rangle = \langle\psi|S_z|\psi\rangle = 0$$



F. Bloch 
Prémio Nobel 1952



Estado mais geral:

$$|\psi\rangle = \cos\left(\frac{\theta}{2}\right)|\uparrow\rangle + e^{i\phi}\sin\left(\frac{\theta}{2}\right)|\downarrow\rangle$$

$$\langle S \rangle = \frac{\hbar}{2} \left(\langle \psi | \sigma_x | \psi \rangle, \langle \psi | \sigma_y | \psi \rangle, \langle \psi | \sigma_z | \psi \rangle \right)$$

Componente x:

$$\begin{aligned} \langle \psi | \sigma_x | \psi \rangle &= \begin{pmatrix} \cos\left(\frac{\theta}{2}\right) \\ e^{i\phi}\sin\left(\frac{\theta}{2}\right) \end{pmatrix}^\dagger \begin{bmatrix} 0 & 1 \\ 1 & 0 \end{bmatrix} \begin{pmatrix} \cos\left(\frac{\theta}{2}\right) \\ e^{i\phi}\sin\left(\frac{\theta}{2}\right) \end{pmatrix} \\ &= \begin{pmatrix} \cos\left(\frac{\theta}{2}\right) & e^{-i\phi}\sin\left(\frac{\theta}{2}\right) \end{pmatrix} \begin{bmatrix} 0 & 1 \\ 1 & 0 \end{bmatrix} \begin{pmatrix} \cos\left(\frac{\theta}{2}\right) \\ e^{i\phi}\sin\left(\frac{\theta}{2}\right) \end{pmatrix} \\ &= e^{i\phi} \cos\left(\frac{\theta}{2}\right) \sin\left(\frac{\theta}{2}\right) + e^{-i\phi} \cos\left(\frac{\theta}{2}\right) \sin\left(\frac{\theta}{2}\right) \\ &= \cos\phi \sin\theta \end{aligned}$$

$$\langle S \rangle = \frac{\hbar}{2} (\cos\phi \sin\theta, \sin\phi \sin\theta, \cos\theta)$$

*Pontos na superfície da esfera de Bloch
Em coordenados Cartesianos*
